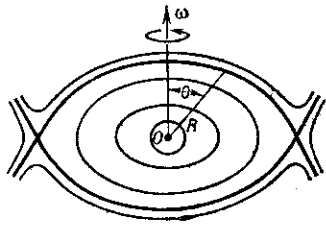


Рис. 1. Вид сечений эквипотенциальных поверхностей одиночной вращающейся звезды плоскостью, проходящей через ось вращения. Критическая эквипотенциаль выделена полужирной линией, O — центр масс звезд.



равная $-GM/R_0^2$, уравновешена центробежной силой $\omega^2 R_0$ (т. е. эфф. сила притяжения $F = -\nabla\Phi = 0$), и постоянная $C = -(3/2)GM/R_0$. На полюсе ($\theta = 0$, $R = R_0$), где центробежная сила отсутствует, $GM/R_0 = (3/2)GM/R_0$. Максимально возможное отношение экваториального R_0^* и полярного R_p^* радиусов звезды, заполняющей П. Р., $R_0^*/R_p^* = R_0/R_p = 3/2$. С уменьшением размеров звезды (относительно П. Р.) $R_0^*/R_p^* \rightarrow 1$. Угл. скорость вращения стационарной звезды не может превышать величины $\omega_K = (GM/R_0^3)^{1/2}$, иначе у неё начнётся экваториальное истечение вещества. Однако не все звезды могут быть ускорены к-л. из известных механизмов до $\omega = \omega_K$. Так, в рамках моделей нейтронных звезд со слабой концентрацией массы к центру (с «жестким» у-рвнем состояния) устойчивость звезды нарушается при $\omega < \omega_K$.

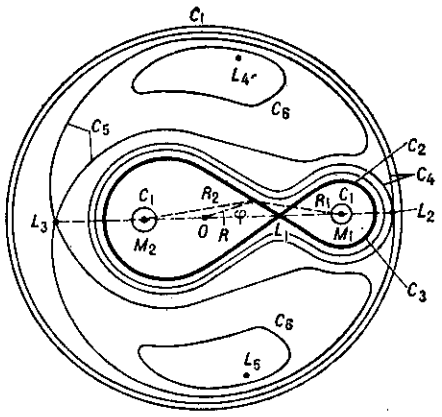
Понятие эквипотенциальных поверхностей и П. Р. можно ввести также и для системы двух звезд, обращающихся вокруг общего центра тяжести по круговым орбитам с пост. угл. скоростью ω . В вейнерциальной системе координат, вращающейся с той же угл. скоростью, эфф. потенциал стационарен и определяется суммой гравитац. потенциалов обеих компонент и центробежного потенциала:

$$\Phi(R, \theta, \varphi) = -\frac{GM_1}{R_1(R, \theta, \varphi)} - \frac{GM_2}{R_2(R, \theta, \varphi)} - \frac{1}{2}\omega^2 R^2 \sin^2 \theta,$$

где R_1, R_2 и M_1, M_2 — расстояния от центров и массы звезд, R, θ, φ — сферич. координаты (центр системы — в центре масс, ось $\theta = 0$ параллельна ω), предполагается синхронность вращения (угл. скорость вращения звезд равна ω).

Эквипотенциальные поверхности, $\Phi = C$, при больших значениях модуля C ($C = C_1$) состоят из окружающих каждую массу почти концентрич. сфер и одной внеш. поверхности, по форме близкой к круговому цилиндру (рис. 2). С уменьшением $|C|$ размеры экви-

Рис. 2. Вид сечений эквипотенциальных поверхностей в двойной звездной системе, проходящей через центры масс компонент и ортогональной оси вращения системы. Критическая эквипотенциаль выделена полужирной линией, φ — азимутальный угол, O — центр масс системы. Внешние эквипотенциали, соответствующие $C = C_2, C_3$, не показаны.



потенциальных поверхностей возрастают, они деформируются, превращаясь в вытянутые навстречу друг другу фигуры, и при нек-ром значении $C = C_2$ имеет место пересечение этих фигур. Точка пересечения (L_1) наз. внутр. либрац. точкой Лагранжа. Эквипотенци-

альная поверхность, проходящая через L_1 , наз. критической и определяет П. Р. каждой из компонент двойной системы. Поверхности звезд должны совпадать с одной из внутр. эквипотенциалей. При заполнении одной из компонент своей П. Р. начинается интенсивное перетекание вещества на соседнюю компоненту.

В зависимости от соотношения между размерами компонент и П. Р. существует классификация двойных звездных систем: разделённые системы, у к-рых обе компоненты находятся внутри П. Р.; полуразделённые системы, у к-рых одна из компонент заполняет свою П. Р.; контактные системы — обе компоненты заполняют свои П. Р. В процессе эволюции звезд одна и та же двойная система может переходить из одного класса в другой.

В полуразделённых и контактных системах наблюдаются газовые потоки, движение к-рых определяется структурой эквипотенциальных поверхностей вне П. Р. С дальнейшим уменьшением $|C|$ ($C = C_3$) две внутр. эквипотенциальные поверхности за П. Р. сливаются в одну гантелеподобную фигуру и при нек-ром значении $C = C_4$ наступает пересечение этой фигуры с внеш. эквипотенциальной поверхностью в либрац. точке L_2 , к-рая находится за менее массивной компонентой на линии, соединяющей центры масс звезд. Если вещество газовых потоков обладает достаточной кинетич. энергией, то прежде всего она начнёт уходить из системы через окрестности L_2 .

При ещё меньших значениях $|C|$ ($C = C_5$) наступает пересечение эквипотенциальных поверхностей с внеш. стороны более массивной компоненты в точке L_3 , после чего эквипотенциальные поверхности разделяются на две фигуры ($C = C_6$), расположенные «выше» и «ниже» линии, соединяющей центры масс. Наконец, при нек-ром значении C эти фигуры вырождаются в две точки L_4 и L_5 , носящие назв. треугольных либрац. точек Лагранжа. При любом отношении масс компонент эти точки образуют с центрами масс звезд равнобедренные треугольники $L_4 M_1 M_2$ и $L_5 M_1 M_2$. Положение точек L_1, L_2, L_3 на линии, соединяющей центры компонент, зависит от отношения масс. Все либрац. точки являются точками относит. равновесия, т. к. в них $\nabla\Phi = 0$. L_1, L_2, L_3 — точки неустойчивого равновесия. В линейном приближении равновесие в точках L_4, L_5 устойчиво при условии $27M_1 M_2 < (M_1 + M_2)^2$.

В системе двух звезд, обращающихся друг относительно друга по эллиптич. орбитам, гравитац. поле переменнo и стационарные эквипотенциальные поверхности отсутствуют. Макс. размеры звезд здесь ограничены началом истечения вещества под действием переменных приливных сил в момент прохождения периастра.

Лит.: Мультон Ф., Введение в небесную механику, пер. с англ., М.—Л., 1936; Мартынов Д. Я., Курс общей астрофизики, 3 изд., М., 1979. Н. И. Шакура.

ПОЛОСЫ РАВНОГО НАКЛОНА — чередующиеся тёмные и светлые полосы (интерференционные полосы), возникающие при падении света на плоскопараллельную пластину в результате интерференции лучей, отражённых от верхней и нижней её поверхностей и выходящих параллельно друг другу. Монохроматич. свет с длиной волны λ от точечного источника S (рис.), находящегося в среде с показателем преломления n , падает на пластину толщиной h и с показателем преломления n' ; при отражении луча SA от верхней и нижней граней образуются параллельные лучи AD и CE . Оптич. разность хода между такими лучами $\Delta L = n'(AB + BC) - nAN = 2n'hc \cos \theta'$, а соответствующая разность фаз $\delta = (2\pi h/\lambda)n' \cos \theta'$. С учётом сдвига фаз на

